

3.2.9. Метрико-динамическая структура внешней оболочки голой «звезды»

В рамках представлений Алсигны метрико-динамическая структура внешней оболочки голой «звезды», описываемая совокупностью метрик (3.2.38а) – (3.2.38г) и (3.2.38и), (3.2.38к), практически совпадает с метрико-динамической структурой внешней оболочки голой «планеты» [см. метрики (3.2.35а) – (3.2.35г)]. Метрический скелет голой «звезды» (см. рис. 3.2.2 и 3.2.3) отличается от аналогичного скелета голой «планеты» в основном двумя факторами. Во-первых, радиусы ракий голой «звезды», окружающих ее ядро, значительно больше радиусов ракий голой «планеты», т. е.

$$r_{31}, r_{32}, r_{33}, r_{34} \gg r_{n1}, r_{n2}, r_{n3}, r_{n4}. \quad (3.2.92)$$

Во-вторых, если к ядру голой «планеты» притекает *субконт*, а оттекает от него *антисубконт*, то у голой «звезды» все наоборот: к ее ядру притекает *антисубконт*, а оттекает от него *субконт* (см. рис. 3.3.1 и рис. 3.3.6).

Информация о движении λ_{6+7} -вакуума во внешней оболочке голой «звезды» содержится в нулевых компонентах метрического тензора из метрик (3.2.38а) – (3.2.38г)

$$\begin{aligned} g_{00}^{(-b)} &= 1 - r_{31}/r, & g_{00}^{(-a)} &= 1 + r_{32}/r, \\ g_{00}^{(+d)} &= -(1 - r_{33}/r), & g_{00}^{(+c)} &= -(1 - r_{34}/r). \end{aligned} \quad (3.2.93)$$

где $r_{31}, r_{32}, r_{33}, r_{34}$ – радиусы ракий, окружающих ядро голой (прозрачной) «звезды» (см. рис. 3.2.12).

Анализ метрико-динамической структуры внешней оболочки голой «звезды» полностью совпадает с анализом структуры внешней оболочки голой «планеты», поэтому приведем только основные его результаты.

Квадраты радиальных составляющих скоростей *субконт* - *антисубконтных* токов во внешней оболочке голой «звезды» равны

$$\begin{aligned} v_{r1}^{(-b)2} &= c^2 r_{31}/r, & v_{r2}^{(-a)2} &= -c^2 r_{32}/r, \\ v_{r3}^{(+d)2} &= c^2 r_{33}/r, & v_{r4}^{(+c)2} &= -c^2 r_{34}/r. \end{aligned} \quad (3.2.94)$$

Откуда следует

$$\begin{aligned} v_{r1}^{(-b)} &= (c^2 r_{31}/r)^{1/2}, & -iv_{r2}^{(-a)} &= (c^2 r_{32}/r)^{1/2}, \\ v_{r3}^{(+d)} &= (c^2 r_{33}/r)^{1/2}, & -iv_{r4}^{(+c)} &= (c^2 r_{34}/r)^{1/2}. \end{aligned} \quad (3.2.95)$$

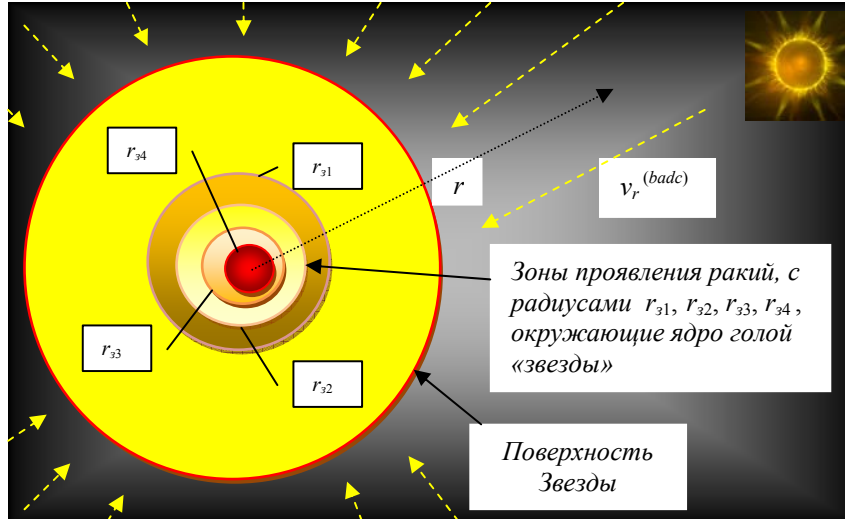


Рис. 3.2.12. Внутренность Звезды, где: r – расстояние от центра Звезды; $r_{31}, r_{32}, r_{33}, r_{34}$ – радиусы 4-х ракий, окружающих ядро голой «звезды»; $v_r^{(abcd)}$ – усредненная скорость вакуума, притекающего к ядру «звезды»

Если разделить результат суммирования скоростей (3.2.95) на четыре, то можно определить среднюю скорость λ_{6+7} -вакуума, стекающегося со всех сторон к ядру голой «звезды» по двойным спиральям, вьющимся вокруг радиальных направлений (см. рис. 3.2.9 и рис. 3.2.13)

$$v_r^{(abcd)} = 1/4 [(v_{r1}^{(-b)} + v_{r3}^{(+d)}) - i (v_{r2}^{(-a)} + v_{r4}^{(+c)})], \quad (3.2.96)$$

Модуль такой усредненной скорости определяется на основании суммирования квадратов скоростей (3.2.94)

$$|v_r^{(abcd)}| = \frac{1}{2} \sqrt{v_{r1}^{(-b)2} + v_{r2}^{(-a)2} + v_{r3}^{(+d)2} + v_{r4}^{(+c)2}} = \frac{c}{2} \sqrt{\frac{r_{31} - r_{32} + r_{33} - r_{34}}{r}}. \quad (3.2.97)$$

Последовательно подставляя нулевые компоненты метрических тензоров (3.2.93) в выражение (3.2.59), получим выражения для ускорений двух *субконтных* (притекающих) и двух *антисубконтных* (оттекающих) токов во внешней оболочке голой «звезды»:

H' – ускорение b - антисубконта

$$a_r^{(-b)} = - \frac{c^2 r_{31}}{2r^2 \sqrt{\left(1 - \frac{r_{31}}{r}\right)}}, \quad (3.2.98)$$

V – ускорение a - субконта

$$a_r^{(-a)} = \frac{c^2 r_{32}}{2r^2 \sqrt{\left(1 + \frac{r_{32}}{r}\right)}}, \quad (3.2.99)$$

H – ускорение d - антисубконта

$$a_r^{(+d)} = - \frac{ic^2 r_{33}}{2r^2 \sqrt{\left(1 - \frac{r_{33}}{r}\right)}}, \quad (3.2.100)$$

I – ускорение c - субконта

$$a_r^{(+c)} = \frac{ic^2 r_{34}}{2r^2 \sqrt{\left(1 + \frac{r_{34}}{r}\right)}}. \quad (3.2.101)$$

Суперпозиция всех четырех ускорений (3.2.98) – (3.2.101) равна

$$\begin{aligned} a_r^{(badc)} &= a_r^{(-b)} + a_r^{(-a)} + a_r^{(-d)} + a_r^{(-c)} = \\ &= \frac{c^2}{2r^2} \left[\frac{r_{32}}{\sqrt{\left(1 + \frac{r_{32}}{r}\right)}} - \frac{r_{31}}{\sqrt{\left(1 - \frac{r_{31}}{r}\right)}} + i \left[\frac{r_{34}}{\sqrt{\left(1 - \frac{r_{33}}{r}\right)}} - \frac{r_{33}}{\sqrt{\left(1 + \frac{r_{34}}{r}\right)}} \right] \right]. \quad (3.2.102) \end{aligned}$$

При большом удалении от ядра голой «звезды» (т. е. в случае, когда $r_{31}, r_{32}, r_{33}, r_{34} \ll r$) выражение (3.2.102) принимает упрощенный вид

$$a_r^{(badc)} = \frac{c^2 [r_{32} - r_{31} + i(r_{33} - r_{34})]}{2r^2}, \quad (3.2.103)$$

откуда следует, что усредненный радиальный сток λ_{6+7} -вакуума к ядру голой «звезды» состоит из двух переплетенных (подобно двойной спирали молекулы ДНК, см. рис. 3.2.8.) ускоренных токовых линий

$$a_r^{(bd)} = -\frac{c^2(r_{31} + ir_{33})}{2r^2}, \quad a_r^{(ac)} = \frac{c^2(r_{32} - ir_{34})}{2r^2}, \quad (3.2.104)$$

вьющихся вокруг искривленного радиального направления, стремящегося к голому ядру Звезды по большой спиральной линии (см. рис. 3.2.13).

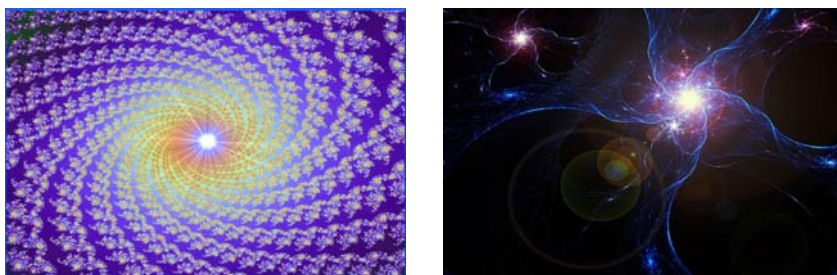
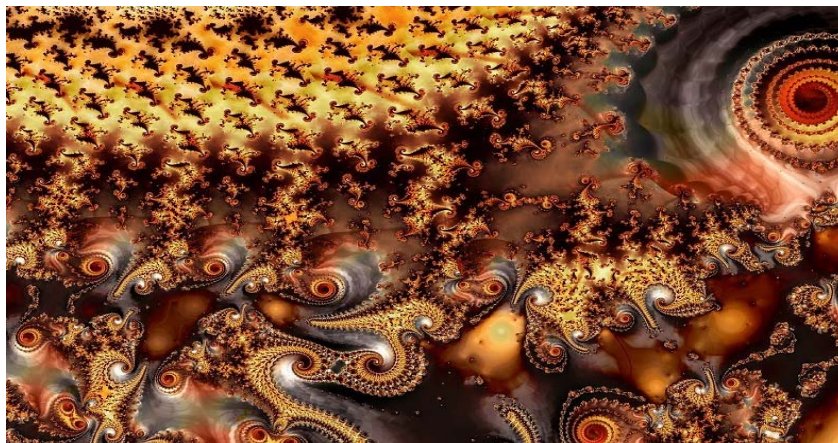
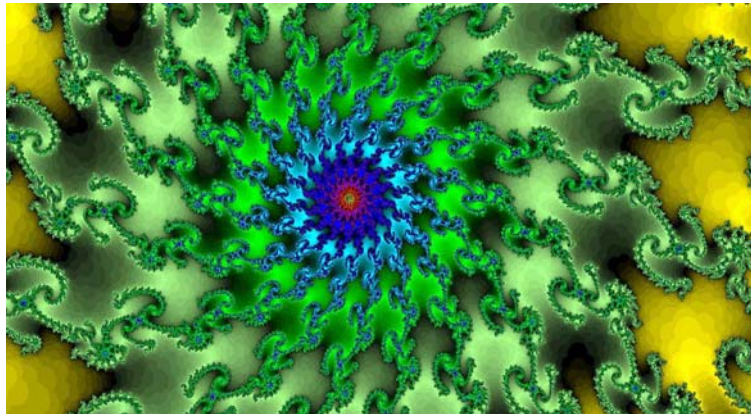


Рис. 3.2.13. Фрактальные иллюстрации свернутых в жгуты, ускоренных *субсубконт-антисубконтных* токов, вьющихся вокруг искривленных радиальных направлений, стремящиеся по спирали к ядру голой «звезды» (или «планеты»), соответственно на ультральном и на инфральном уровнях рассмотрения

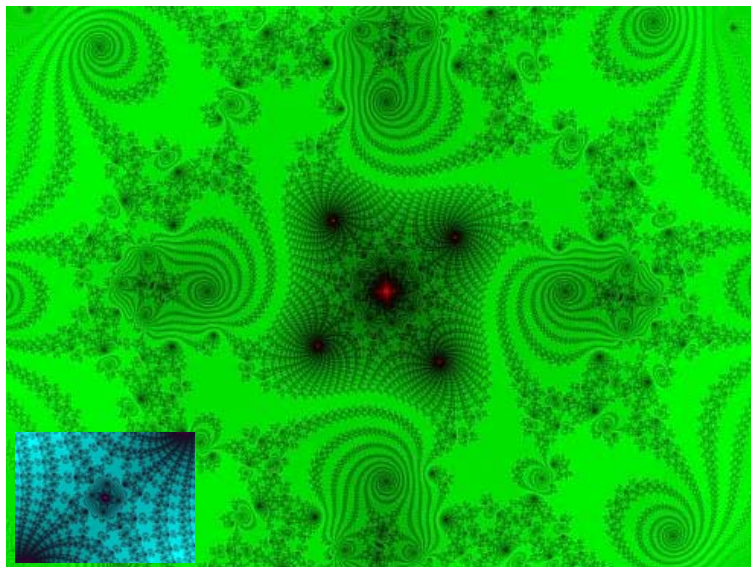


www.fractal-recursions.com

Фрактальная иллюстрация «солнечных лучей» на ультральном уровне рассмотрения



<http://photo.starnet.ru/>



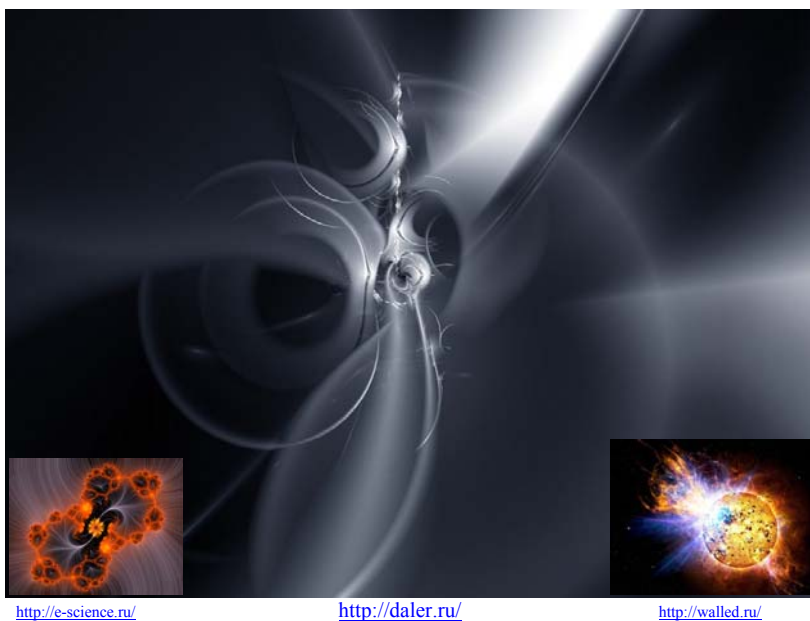
<http://photo.starnet.ru/>

Ковер, сотканный из переплетения субконт-антисубконтных токов, в окрестности ядра голой «звезды»

Среднее относительное удлинение внешней оболочки голой «звезды» в радиальных направлениях описывается совокупностью единичных компонентов метрик (3.2.38а) – (3.2.38г) и (3.2.38и), (3.2.38к), и подобно (3.2.83) (3.2.83) – (3.2.91) задается приближенным выражением

$$l_i^{(\mp)} \approx \sqrt{\frac{r^2}{(r^2 - r_3^2)}} - 1, \quad (3.2.105)$$

где $r_3 = r_{31} \approx r_{32} \approx r_{33} \approx r_{34}$ (для голого «солнца» $r_3 \sim 20\,000$ км).



<http://e-science.ru/>

<http://daler.ru/>

<http://walled.ru/>

Иллюстрация сложных вакуумных деформаций
в окрестности ядра голой «звезды»

Напомним, что используемое здесь третье приближение теории «упругого» вакуума выявляет только грубые, усредненные составляющие внутривакуумных процессов. Более детальные ультральные и инфральные уровни рассмотрения раскрывают невыразимую красоту замысловатых переплетений различных оттенков субконт-антисубконтных течений.